

## تأثير ميل وخشونة سطح دعامات الجسور على أبعاد النحر

نشوان إبراهيم حمو  
مدرس

إنعام علي قاسم جمعة  
مدرس

د. مؤيد سعد الله خليل  
استاذ مساعد

قسم هندسة الموارد المائية  
جامعة الموصل

## الخلاصة

في هذا البحث تم مختبرياً دراسة تأثير خشونة سطح الدعامات وميلها على حفرة النحر المتكونة نتيجة جريان الماء. أجريت 54 تجربة باستخدام ثلاثة نماذج للدعامات بقياسات مختلفة تثبت في قناة رملية القعر، بحيث يكون محور الدعامة مواز للجريان في الحالة الأولى وينحرف عليه بزاوية  $30^\circ$  في الحالة الثانية ومن ثم ينحرف بزاوية  $45^\circ$  في الحالة الثالثة. تم إمرار ثلاثة تصاريح مختلفة لكل دعامة ولفترة لا تقل عن ساعتين. في نهاية كل تجربة تم قياس إبعاد حفرة النحر الحاصلة حول الدعامة، وقد أعيدت نفس التجارب بعد تخشين سطح الدعامات بالحصى الناعم بقطر (2) ملم وتم أيضاً قياس أبعاد حفرة النحر بعد عملية التخشين. أشارت نتائج البحث إلى نقصان في إبعاد حفرة النحر بعد التخشين، حيث انخفض عمق النحر بنسبة تراوحت بين 2% و 61% وطول النحر بين 2.5% و 22% وعرض النحر بين 3% و 19.7%. وبينت نتائج التجارب إلى إن زيادة ميل محور الدعامة عن الجريان يؤدي إلى زيادة في إبعاد حفرة النحر. وأخيراً أظهرت التحليلات الرياضية للنتائج انه يمكن صياغة علاقة رياضية خطية بين التصريف وإبعاد النحر وبمعامل تحديد لم يقل عن 0.94.

الكلمات الدالة: الدعامات، النحر، الخشونة.

## المقدمة

بحفرة النحر. إن النحر بدوره يؤثر على ثبات أسس الدعامات وربما يؤدي إلى انهيار المنشأ<sup>[1]</sup>.  
اهتم عدد من الباحثين بدراسة ظاهرة النحر الموضوعي تجريبياً ونظرياً باستخدام دعامات عمودية أو مائلة مع الأخذ بنظر الاعتبار عدد من المحددات. حيث اهتمت بعض البحوث بدراسة التأثيرات الجانبية المحيطة بالدعامة على عمق وشكل النحر، مثل عمق الجريان أو نوع التربة حول الدعامة أو شكل الدعامة نفسها، من هذه الدراسات: الدراسة التي أجريت في

يحدث النحر حول دعامات الجسور والمنشآت الهيدروليكية وضفاف وقعر الأنهار والقنوات الرسوبية ويعرف بأنه التآكل الذي يحصل في مادة القعر والضفاف نتيجة سرعة الماء، أما النحر الموضوعي فيمكن تعريفه بأنه انجراف مادة القعر حول دعامات وأكتاف الجسور نتيجة للجريان المضطرب الذي يؤدي بدوره إلى تكوين ما يسمى

الدعامة يزيد من النحر الموضعي، وأجرى الباحث الصفار [14] دراسة مختبرية لدراسة تأثير تدرج الحماية الحجرية حول دعامات الجسور على النحر الموضعي، وقام الباحث حمو [15] بدراسة تأثير خشونة مقدم الدعامة الاسطوانية للجسور على عمق وشكل النحر الموضعي حيث توصل إلى إن هناك تأثير واضح لخشونة سطح الدعامة المواجهة للجريان على خواص النحر حول الدعامة وشكله وعمقه.

مما تقدم، يلاحظ بأنه لا توجد هناك دراسة حول تأثير ميل الدعامة وخشونة مقدم سطح الدعامة المستطيلة المقطع الدائرية الحافة على عمق وشكل النحر الموضعي، ولهذا فقد تم اختيار هذا الموضوع لاستكمال الدراسات والبحوث السابقة حيث تم إجراء عدد من التجارب باستخدام ثلاث نماذج لدعامة مستطيلة المقطع دائرية الحافة بوضعها الطبيعي ثم مائلة عن اتجاه الجريان وكذلك أعيدت نفس التجارب بعد تخشين الدعامة.

#### القناة المستخدمة وطريقة العمل

أجريت جميع التجارب في مختبر الهيدروليك التابع لقسم هندسة الموارد المائية في جامعة الموصل. والقناة المستخدمة في إجراء التجارب عبارة عن وحدة متكاملة مصنوعة من الألمنيوم والزرجاج . إبعادها الإجمالية ( 8.05\*1.55\*2.25)م طولاً وعرضاً وارتفاعاً على التوالي.

إما أبعاد القناة التي يحدث بها الجريان فهي (5.85)م طولاً(1.22)م عرضاً و (0.50)م عمقاً. هيكل القناة مصنوع من الألمنيوم بجوانب زجاجية، قعرها جزء من الخزان الأول الذي يزود المضخة بالماء . في أعلى القناة يوجد خزان ثاني للمياه جوانبه زجاجية ومقدمته عبارة عن سد غاطس ذو ثلثة مثلثة استخدمت لقياس التصريف بعد إجراء

من قبل رواد كوفي وإيتما [2]، وهي عبارة عن دراسة منهجية حول تأثير التوزيع الجببي الحتمي للترربة على عمق النحر، وكذلك البحوث التي قام بها كل من جي [3] وجو [4] والتي تناولت موضوع العلاقة بين عمق الجريان وعمق وشكل النحر. كما درس روادكوفي [5] التعرية حول الدعامة في الجريان فوق الحرج وعلاقته بالجريان ومحددات الرسوبيات. كما قام كل من جيو وميفيلي [6] ببحث تجريبي لدراسة النحر الموضعي حول الدعامة الاسطوانية في الرسابات المنتظمة غير المتماصة وتوصلا إلى علاقات تربط عمق النحر المتوازن مع سرعة الاقتراب وحجم الرسابات وعمق الجريان. وقد لخص غالاي وآخرون [7]، استخدام حجر الاكساء على شكل طبقة أو فرشاة في قعر النهر لغرض الحماية من النحر وكذلك في بعض المنشآت الهيدروليكية مثل دعامة الجسور. واستخدم كل من بروس وهادفيلد [8] ركائز فدائية (scarified piles) للتقليل من النحر الموضعي وذلك عن طريق تغيير اتجاه الجريان . ميفيلي وجيو [9] درسوا التقدم الزمني للنحر الموضعي تحت ظروف الماء الصافي للدعامة الاسطوانية لأرضية تتكون من الرمل المنتظم، كما قام الباحثان لم وجيو [10] بإعداد دراسة مختبرية محددة عن فشل طبقة الحماية الحجرية حول دعامة الجسر الاسطوانية الشكل لمواد قعر منتظمة، كما استخدم أيضا الباحثون اودغارد [11] وكذلك سينها وماريلوس [12] موجهاً ابوا، وهي عبارة عن منشآت صغيرة غاطسة تستخدم في تهذيب ضفاف الأنهار عن طريق السيطرة على الترسبات وعلى سرعة الجريان . كما قام الباحثان بوزكوس ويلدز [13] بدراسة تأثير ميل دعامة الجسور الاسطوانية على عمق النحر وأستنتج من الدراسة إن زاوية ميل

التربة. بحيث يكون محوره باتجاه الجريان أولاً الشكل (3-a) ويمرر الماء بتصريف معين (5 لتر/ثا في التجربة الأولى) ولمدة ساعتين، بعدها يترك الماء لينضح ومن ثم تقاس ابعاد النحر الموضعي المتكون في التربة حول النموذج وبالالاتجاهات الثلاثة (X,Y,Z) ويرسم شكل النحر الشكل (3-a). وتعاد التجربة باستخدام تصريفين مختلفين (12) لتر/ثا و (17.5) لتر/ثا ولنفس الاتجاه.

بعد ذلك يتم تغيير اتجاه محور النموذج بحيث يكون مائلا بزاوية  $30^\circ$  و  $45^\circ$  عن اتجاه الجريان الشكل (3-b)، وفي كل مرة تعاد نفس الخطوات المتبعة في التجربة الأولى. وكذا الحال بالنسبة للنموذجين المتبقين.

وبذلك يكون عدد التجارب 27 تجربة قبل تخشين سطح النماذج و 27 تجربة بعد التخشين. وقد تم تسجيل جميع القياسات في الجدول (1).

### تأثير الخشونة على خصائص النحر

#### 1- تأثير الخشونة على عمق النحر

لمعرفة تأثير الخشونة على النحر تم رسم قيم أكبر عمق للنحر مع التصريف للدعامات الثلاثة كل على حدى، كما في الأشكال (4)،(5)،(6) ولحالتى الدعامة قبل وبعد التخشين وللأوضاع الثلاثة للدعامة (محور الدعامة باتجاه الجريان، ومائل بزاوية  $30^\circ$  و  $45^\circ$  عن الجريان). حيث يلاحظ من هذه الأشكال وبشكل عام زيادة عمق النحر مع زيادة التصريف، وعند نفس التصريف والدعامة فان عمق النحر يقل بعد تخشين الدعامة عنه قبل ذلك ولكافة التجارب دون استثناء.

المعايرة الحجمية له. في مؤخر القناة مضخة تدار بمحرك كهربائي وتأخذ المياه من الخزان الأول بتصريف تصميمي يبلغ (28.25) لتر/ثا. المضخة مزودة بمنظومة من الصمامات تساعد على التحكم بكمية المياه الخارجة والداخلية منها واليهما. وعلى طول جانبي القناة تمتد سكة تتحرك عليها عربة استخدمت كقاعدة لقياس الأعماق (point gauge). ولتهديئة الجريان فقد جهزت القناة بسلة في مقدمتها إبعادها (0.6 0.8 0.9)م طولاً و عرضاً وارتفاعاً على التوالي، ووضعت تحت مسقط الجريان. ولمنع دخول الرسابات إلى المضخة فقد جهزت القناة بمصيدة للرسابات (Sediment trap) وضعت في المؤخرة وتم وضع حاجزين من الخشب المضغوط المسافة بينهما (4.10)م وبطول (1.22)م وبارتفاع (0.15)م وسمك (0.015)م حيث شكلا مع جانبي القناة الزجاجية حوضاً يحتوي على الرمل الذي يكون قعر القناة. الشكل (1) يوضح المسقط الامامي والراسي للقناة. تم تصنيع ثلاث نماذج من الدعامات وبمقاطع شبه دائرية (مستطيلة المقطع وبنهايتين نصف دائريتين) بعرض (60,140,90) ملم وبطول (280,180,120) ملم على التوالي، وبارتفاع (450) ملم أيضاً جميع النماذج صقلت وطلبت بطلاء دهني لإعطائها خشونة سطح متساوية وحمايتها من الماء.

أجريت التجارب على مرحلتين رئيسيتين، في المرحلة الأولى تم استخدام نماذج الدعامات المذكورة سابقاً الشكل (2) بسطحها الصقيل، أما في المرحلة الثانية فقد تم تخشين سطح النماذج بالحصى الناعم (2) ملم بواسطة مادة لاصقة.

في بداية كل تجربة تتم تسوية سطح التربة داخل القناة، ويوضع نموذج الدعامة عمودياً داخل

أعلاه ووضعت في الجدول (3) حيث تتراوح معامل الارتباط بين 0.935 و 0.987.

### 3. تأثير الخشونة على عرض النحر

لتحديد تأثير الخشونة على عرض النحر فقد تم رسم الأشكال (10) , (11) , (12) التي تبين العلاقة بين عرض النحر والتصريف وكفاءة الدعامات بأوضاعها الثلاثة قبل وبعد التخشين. حيث يلاحظ من ذلك العلاقة الطردية بين التصريف وعرض النحر. كما إن عملية التخشين وكفاءة التجارب تقلل من عرض النحر عند نفس التصريف. وقد بينت التحليلات الإحصائية باستخدام البرنامج Excel أن أفضل علاقة بين عرض النحر والتصريف هي العلاقة الخطية وكما يأتي:

$$Q = a_3 + b_3W \quad \dots\dots\dots (3)$$

إذ إن W تمثل أكبر عرض للنحر بالسنتيمتر. إما قيم المعاملات  $a_3, b_3$  ومعامل الارتباط R2 لهذه العلاقة فقد حسبت ووضعت في الجدول (4) حيث تتراوح معامل الارتباط بين 0.9568 و 0.9999 .

### مدى تأثير الخشونة على خصائص النحر

تم حساب النسبة المئوية للنقصان في عمق وطول وعرض النحر عند الدعامات الثلاثة وكفاءة التجارب نتيجة عملية التخشين وذلك لتحديد مدى هذا التأثير، وقد وضعت كافة الحسابات في الجداول (5) , (6) , (7) للدعامات الأولى والثانية والثالثة على التوالي.

يلاحظ من الجداول السابقة إن أكبر نقصان قد حدث في عمق النحر حيث تراوحت نسبته بين 2.22% إلى 61.54% في كافة تجارب البحث، أما بالنسبة لطول النحر فقد تراوحت نسبة النقصان بين

لقد وجد من خلال تحليل البيانات بواسطة برنامج Excel أن أفضل علاقة بين عمق النحر والتصريف يمكن تمثيلها بخط مستقيم كما يأتي :

$$Q = a_1 + b_1D \quad \dots\dots\dots (1)$$

إذ إن :-

Q = التصريف لتر / ثا

D = أكبر عمق للنحر سم

a1, b1 = معاملات المعادلة

وقد وضعت قيم المعاملات  $a_1, b_1$  في الجدول (2) مع معامل الارتباط R2 والذي تراوحت قيمته بين 0.9807 و 0.9998.

### 2. تأثير الخشونة على طول النحر

لوحظ من خلال نتائج التجارب إن طول النحر يقل بعد تخشين الدعامات، ولتوضيح ذلك فقد رسمت قيم طول النحر للدعامات الثلاثة مع التصريف وكما في الأشكال (7), (8) , (9) قبل وبعد التخشين وللأوضاع الثلاثة للدعامات المذكورة سابقاً. حيث تشير الأشكال إلى تغير طول النحر طردياً مع التصريف، وإن طول النحر يقل بعد تخشين الدعامات عنه قبل التخشين وذلك عند نفس التصريف ولنفس الدعامات. إما نتائج التحليلات الإحصائية باستخدام البرنامج Excel فقد أشارت إلى إن أفضل علاقة بين طول النحر والتصريف هي المعادلة الخطية وكما يأتي :

$$Q = a_2 + b_2L \quad \dots\dots\dots (2)$$

إذ إن L تمثل طول النحر بالسنتيمتر . لقد تم إيجاد قيم المعاملات  $a_2, b_2$  ومعامل الارتباط R2 للمعادلة

**تأثير عرض الدعامات على خصائص النحر**

لتوضيح تأثير عرض الدعامات على طول وعرض وعمق النحر، فقد تم رسم العلاقة بين عرض الدعامات الثلاثة مع خصائص النحر للتصارييف الثلاثة المستخدمة في التجارب وحسب ميل الدعامات مع اتجاه الجريان. وكنموذج لهذه الرسومات فإن الشكل (13) يمثل العلاقة بين عرض الدعامات وعمق النحر عندما يكون ميل محور الدعامات باتجاه الجريان ، والشكل(14) يمثل العلاقة بين عرض الدعامات وطول النحر عندما يكون محور الدعامات مائل بزواوية  $30^\circ$  عن اتجاه الجريان، وأخيراً الشكل (15) يمثل العلاقة بين عرض الدعامات وعرض النحر عندما تكون الدعامات مائل بزواوية  $45^\circ$  عن اتجاه الجريان. وقد تعذر وضع بقية الإشكال لكثرة عددها وحيث أنها لا تختلف كثيراً عن النماذج أعلاه. من الإشكال السابقة يلاحظ إن العلاقة تكون طردية بين عرض الدعامات وأبعاد النحر، وعندما يتضاعف عرض الدعامات فإن إبعاد النحر تزداد أيضاً بنسبة الضعف أو أكثر من ذلك.

**تأثير زواوية ميل الدعامات على خصائص النحر**

تم رسم العلاقة بين زواوية ميل الدعامات وإبعاد النحر للتصارييف الثلاثة ولكل عرض للدعامات، حيث الشكل (17) يمثل العلاقة بين ميل الدعامات وعمق النحر عندما يكون عرض الدعامات 6 سم، والشكل (17) يمثل العلاقة بين ميل الدعامات وطول النحر عندما يكون عرض الدعامات 9 سم، وأخيراً الشكل (18) الذي يمثل العلاقة بين ميل الدعامات وعرض النحر عندما يكون عرض الدعامات 14 سم. ولم توضع بقية الإشكال لكثرة عددها ولكونها مماثلة للإشكال السابقة. من الإشكال الأخيرة يلاحظ إن

2.58 % إلى 22.15% في حين تراوحت نسبة النقصان في عرض النحر بين 3.15 % إلى 19.72%. إما نتائج الباحث حمو<sup>[15]</sup> فقد بينت ان نسبة النقصان في أبعاد حفرة النحر تراوحت بين 25% و 77 % وهي نسبة عالية وجيدة جداً مقارنة مع نسب هذه الدراسة، والسبب في ارتفاع هذه النسب يعود إلى ان الباحث استخدم دعامات دائرية المقطع حيث ظهر تأثير الخشونة واضحاً فيها على عكس الدعامات المستطيلة المقطع المستخدمة هنا.

أيضاً يلاحظ من الجداول ( 6و7) إن نسب النقصان في أبعاد النحر متذبذبة بشكل عام، حيث إن هذه الأبعاد تقل دائماً بعد تخشين الدعامات، إلا إن نسبة النقصان لا تتغير بشكل منتظم مع المتغيرات الأخرى كاللتصريف أو طول الدعامات أو زواوية الانحراف عن اتجاه الجريان. إن هذا التذبذب في نسب النقصان يعدو إلى عدة أسباب أهمها :

- قلة عدد التصارييف المعتمدة في التجارب ( ثلاثة فقط) ، حيث يتطلب الأمر زيادة عدد التصارييف وقيمتها للحصول على صورة أوضح لتغير إبعاد النحر مع التصارييف العالية.

- أن إبعاد النحر وخاصة العمق صغيرة نسبياً وأي تغيير فيها ولو كان طفيفاً يعطي نسبة للنقصان كبيرة، إضافة إلى إن الخطأ في القياسات المختبرية يكون تأثيره كبيراً في هذه الحالة، إن زيادة التصريف عن 17.5 لتر/ثا قد يؤدي إلى التقليل من أخطاء القياسات المختبرية.

- قلة عدد زوايا الميل بالنسبة للدعامات ويفضل تغيير الميل ل 10 درجات للحصول على تأثير واضح لميل الدعامات على إبعاد النحر.

## المصادر

1. Chiew Y.M., "Mechanics of Riprap Failure of Bridge Piers", Journal of Hydraulic Engineering, ASCE, Vol. 121, No. 9, pp. 635-643, 1995.
2. Raudkivi, A.J. and Ettema R., "Clear Water Scour at Cylindrical Piers", Journal of Hydraulic Division. ASCE, Vol. 109, No.10, pp 338 – 350, 1983.
3. Chee, R.K.W. , " Live – bed Scour of Bridge Piers", Report No. 290, University of Auckland, school of Engineering, Auckland, New Zealand, 1984.
4. Chiew, Y.M., "Local Scour of Bridge Piers", Report No. 355, University of Auckland, school of Engineering. Auckland, New Zealand, 1984.
5. Raudkivi, A.J., "Functional Trends of Scour of Bridge Piers", Journal of Hydraulic Engineering, ASCE, Vol. 112, NO.1, pp 1-13, 1986.
6. Chiew, Y.M.and Melville, B.W., "Local scour around Bridge Piers", Journal of Hydraulic Research, Vol. 25, No.1, 1987.
7. Galay, V.j., Yaremko, E.K., and Quazi, M.E. "River Bed Scour and Construction of Stone Riprap Protection", Sediment Transport in Gravel – bed Rivers, C.R.Thorne, J.C. Bathurst. And R.D.Hey, John Wiley and Sons.inc., New York, N.Y, pp 355-383, 1987.
8. Bruce, W.M. and Hadfield, A.C., "Use of Sacrificial Piles as Pier Scour, Countermeasures," Journal of Hydraulic Engineering, ASCE,

العلاقة تكون طردية بين زاوية ميل الدعامة وإبعاد النحر وفي بعض الحالات يكون تأثير الميل قليلاً جداً على أبعاد النحر خاصة في التصاريح القليلة.

## الاستنتاجات

أجريت في البحث سبعة وعشرون تجربة موزعة على ثلاثة دعامة بثلاثة اتجاهات لكل دعامة مع اتجاه الجريان وبثلاثة تصاريح للدعامة الواحدة وذلك قبل تخشين سطح الدعامة، وأعيدت نفس التجارب بالتفاصيل نفسها بعد تخشين سطح الدعامة بحبات الرمل الناعمة، وتم في كل تجربة إجراء قياسات دقيقة لأبعاد حفرة النحر المتكونة حول الدعامة. وعلى ضوء نتائج هذه التجارب وضمن المحددات الهيدروليكية والهندسية للجريان والدعامة يمكن استنتاج ما يأتي:

- 1- إن عملية تخشين سطح الدعامة تساعد كثيراً على تشتيت الطاقة والاضطراب الناتج عن الجريان وتقلل بالتالي من تأثيرها.
- 2- تراوحت نسبة النقصان في أبعاد حفرة النحر نتيجة عملية التخشين بين 2.22% إلى 61.56% لعمق النحر، وبين 2.56% إلى 22.15% لطول النحر، وبين 3.15% إلى 19.72% لعرض النحر.
- 3- إن لمقطع الدعامة تأثير واضح على فاعلية الخشونة المستخدمة حيث يزداد تأثيرها في المقاطع الدائرية أكثر مما هو عليه في المقاطع المستطيلة.
- 4- للحصول على نتائج أكثر شمولية يفضل زيادة التصاريح لمديات أوسع وتغيير حجم المواد المستخدمة في التخشين إلى إجماع أكبر.

## قائمة الرموز المستخدمة

$a_1-a_n$  و  $b_1-b_n$  = معاملات المعادلات

$b$  = عرض الدعامة

$D$  = اكبر عمق للنحر

$L$  = اكبر طول للنحر

$Q$  = التصريف

$W$  = اكبر عرض للنحر

Vol. 125, No.11, pp1221- 1224, 1999.

9. Melville, B.W. and Chiew, Y.M. "Time Scale for Local Scour at Bridge Piers", Journal of Hydraulic Engineering, ASCE, Vol. 125, No.1, 59-65, 1999.

10. Lim, F.H., and Chiew, Y.M. "Parametric Study of Riprap Failure around Bridge Piers", Journal of Hydraulic Research, ASCE, IAHR, Vol. 39, No.1, pp 61-72, 2001.

11. Odgaard, A.J., "Iowa Vanes-An Inexpensive Sediment Management Strategy", IIHR-Hydroscience & Engineering, College of Engineering, The university of Iowa, 2003.

12. Sinha, S.K. and Marelius, F., "Enhanced Training and Control of Natural River.", IIHR-Hydroscience & Engineering, College of Engineering, The university of Iowa, 2003.

13. Bozkus, z. and Yildiz, U. "Effects of Inclination of Bridge Piers on Scouring Depth", Journal of Hydraulic Engineering, ASCE, Vol. 130, No. 8, 827- 832, 2004.

14-الصفار ، منار سفر"، تأثير تدرج الحماية الحجرية حول دعامات الجسور على النحر الموضوعي "رسالة ماجستير، جامعة الموصل، كلية الهندسة، 2005 .

15 - حمو، نشوان ابراهيم "تأثير خشونة مقدم لدعامات الاسطوانية على عمق وشكل النحر الموضوعي "مجلة هندسة الرافدين، المجلد 13، العدد 3 .2005

جدول (1) البيانات المختبرية للنماذج المستخدمة

الدعامة الأولى b=6cm							
بعد التخشين			قبل التخشين			$\theta$	Q(l/s)
عرض النحر (cm)	طول النحر (cm)	عمق النحر (cm)	عرض النحر (cm)	طول النحر (cm)	عمق النحر (cm)		
8	15	0.5	9	17.5	1.3	0°	5
14	24	2.5	15	26.5	3		12
22	39	4	23	41	4.5		17.5
14.3	16.4	0.8	12.2	17.9	1.5	30°	5
17.2	30.6	2.8	18.5	32.3	3.5		12
21.5	37.9	5	24	39.4	5.5		17.5
11.2	17.2	1	12.7	18.6	1.5	45°	5
18	31.4	3	19.3	32.7	3.5		12
21.6	38	5.3	23	39.9	5.6		17.5
الدعامة الثانية b= 9cm							
14	23.5	0.8	15	26	1	0°	5
24	38	3.5	24	39.5	3.8		12
32	60	5	32	65	5.5		17.5
14	21.1	1	17.5	27.1	1.4	30°	5
22.5	35.6	3.8	24.3	41.6	4		12
28.5	57.6	6.3	35.5	68.6	7		17.5
21.7	26.6	1.2	23	27.8	1.5	45°	5
28.9	41.6	4	30.5	42.6	4.2		12
40	68.6	6.5	41.5	72.1	7.2		17.5
الدعامة الثالثة b= 14cm							
21	37.5	1.5	22	39	2	0°	5
30	51.8	4.5	31	53	4.5		12
36	75	6	38	78.5	6.5		17.5
24.3	36.6	1.8	25.5	38.45	2.2	30°	5
32.5	54.8	4.5	34.5	57.25	5		12
42.5	80.25	7.5	46	83.75	9		17.5
25	37.25	2	26.2	38.95	2.5	45°	5
35	56.35	4.8	36.5	60.25	5.5		12
44.5	82.25	8.5	47.3	85.05	10		17.5



الجدول (2) قيم المعاملات  $b_1, a_1$  ومعامل الارتباط  $R^2$  للمعادلة (1)

بعد التخشين			قبل التخشين			طول الدعامة (سم)
$R^2$	$b_1$	$a_1$	$R^2$	$b_1$	$a_1$	
محور الدعامة باتجاه الجريان						
0.998	3.567	3.176	0.997	3.911	0.028	6
0.9981	2.930	2.416	0.995	2.750	2.028	9
0.9908	2.734	0.656	0.998	2.607	-0.056	14
محور الدعامة يميل بزاوية $30^\circ$						
0.9907	2.968	2.991	0.9905	3.125	0.560	6
.09978	2.361	2.763	0.9789	2.222	2.316	9
0.9901	2.107	1.442	0.9711	1.806	1.745	14
محور الدعامة يميل بزاوية $45^\circ$						
0.9881	2.894	2.528	0.9931	3.045	0.740	6
0.9987	2.361	2.291	0.9901	2.186	2.099	9
0.978	1.900	1.809	0.9665	1.636	1.710	14

الجدول (3) قيم المعاملات  $b_2, a_2$  ومعامل الارتباط  $R^2$  للمعادلة (2)

بعد التخشين			قبل التخشين			طول الدعامة (سم)
$R^2$	$b_2$	$a_2$	$R^2$	$b_2$	$a_2$	
محور الدعامة باتجاه الجريان						
0.9555	0.505	-1.633	0.959	0.517	-3.162	6
0.9653	0.335	-2.065	0.945	0.308	-1.928	9
0.958	0.325	-6.243	0.9455	0.304	-5.787	14
محور الدعامة يميل بزاوية $30^\circ$						
0.9871	0.5629	-4.607	0.9486	0.567	-5.44	6
0.9653	0.335	-1.257	0.9429	0.289	-1.716	9
0.9729	0.282	-4.597	0.9724	0.271	-4.737	14
محور الدعامة يميل بزاوية $45^\circ$						
0.9808	0.584	-5.374	0.986	0.574	-5.956	6
0.9464	0.286	-1.502	0.9347	0.269	-1.254	9
0.975	0.274	-4.542	0.9873	0.27	-5.07	14

الجدول (4) قيم المعاملات  $a_3$ ,  $b_3$  ومعامل الارتباط  $R^2$  للمعادلة (3)

بعد التخشين			قبل التخشين			طول الدعامة (سم)
$R^2$	$b_3$	$a_3$	$R^2$	$b_3$	$a_3$	
محور الدعامة باتجاه الجريان						
0.9772	0.882	- 1.434	0.9772	0.882	- 2.314	6
0.9998	0.892	- 7.527	0.998	0.736	- 5.923	9
0.9972	0.829	- 12.54	1.0	0.978	- 12.193	14
محور الدعامة يميل بزواوية $30^\circ$						
0.9959	1.066	- 6.574	0.9991	1.061	- 7.84	6
0.9901	0.86	- 7.122	0.9568	0.674	- 5.873	9
0.9842	0.682	- 11.07	0.9807	0.604	- 9.834	14
محور الدعامة يميل بزواوية $45^\circ$						
0.9887	1.18	- 8.473	0.9961	1.196	- 10.421	6
0.9637	0.667	- 8.648	0.9704	0.671	- 9.70	9
0.997	0.642	- 10.487	0.9932	0.592	- 10.57	14

الجدول (5) النسبة المئوية للنقصان في إبعاد النحر بعد تخشين الدعامة الأولى

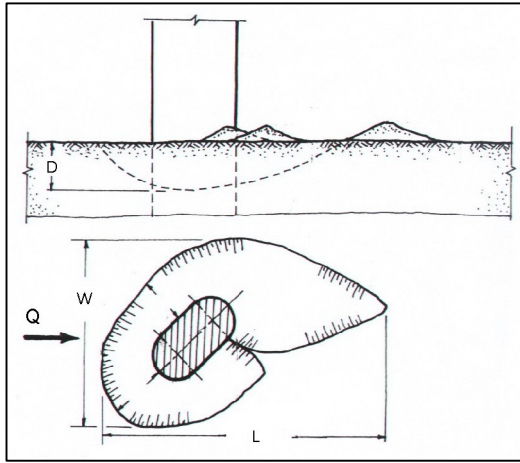
نسبة النقصان في عمق النحر (%)			زاوية الميل	التصريف (لتر/ثا)
العمق	العرض	الطول	مع الجريان	5
			30	
			45	
16.67	6.67	9.43	مع الجريان	12
			30	
			45	
11.11	4.35	4.88	مع الجريان	17.5
			30	
			45	
9.09	10.42	3.81	30	17.5
			45	
			4.76	

الجدول (6) النسبة المئوية للنقصان في إبعاد النحر بعد تخشين الدعامة الثانية

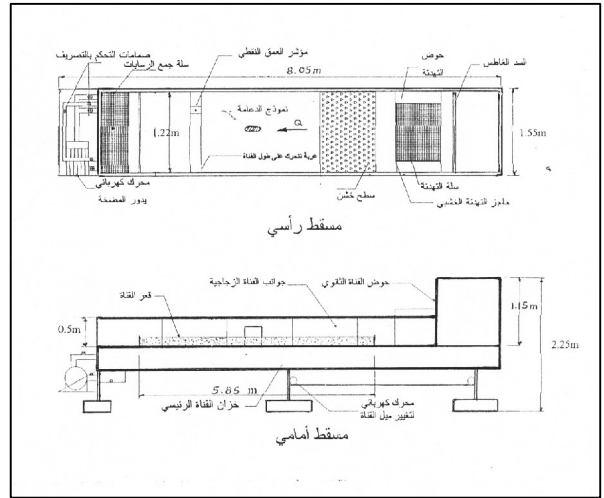
نسبة النقصان في طول النحر (%)			زاوية الميل	التصريف (لتر/ثا)
العمق	العرض	الطول	مع الجريان	5
20.0	6.67	9.61		
28.57	20.0	22.15		
20.0	5.65	4.68	45	12
7.89	8.33	4.52	مع الجريان	
5.0	7.41	14.43	30	
4.76	5.24	2.58	45	17.5
9.09	12.5	7.69	مع الجريان	
10.0	19.72	16.04	30	
9.72	3.15	4.86	45	

الجدول (7) النسبة المئوية للنقصان في إبعاد النحر بعد تخشين الدعامة الثالثة

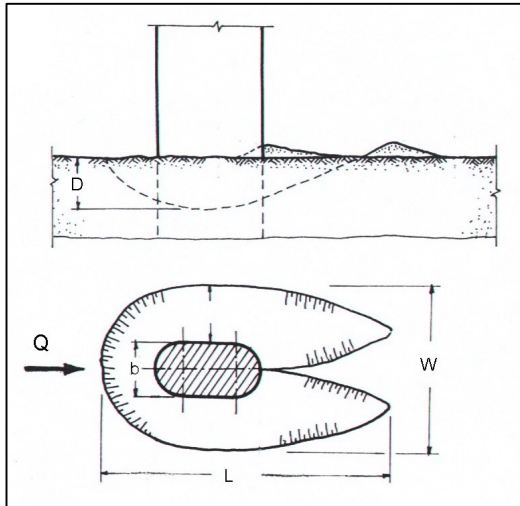
نسبة النقصان في عرض النحر (%)			زاوية الميل	التصريف (لتر/ثا)
العمق	العرض	الطول	مع الجريان	5
25	4.54	3.83		
18.18	4.76	4.94		
20	4.58	4.36	45	12
2.22	3.22	2.26	مع الجريان	
10.0	5.79	4.37	30	
2.73	4.11	6.64	45	17.5
11.76	5.26	4.46	مع الجريان	
16.76	7.61	4.18	30	
15.0	5.92	3.29	45	



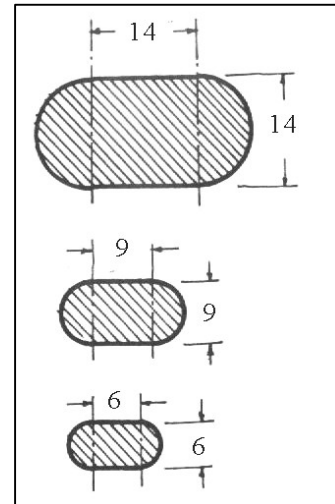
(a) المسقط الأفقي



الشكل (1) : القناة المخبرية المستخدمة

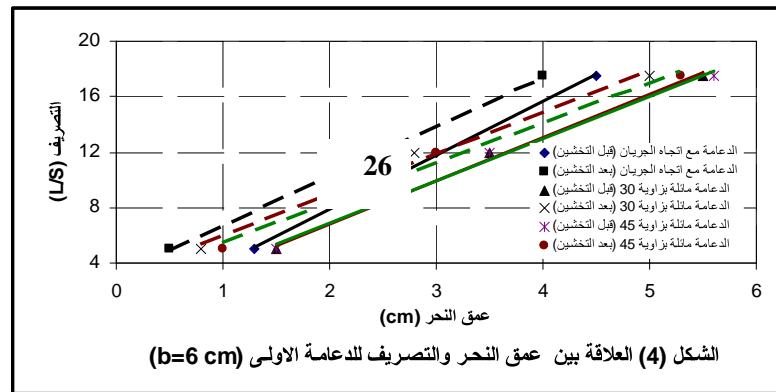


(b) المسقط الأفقي

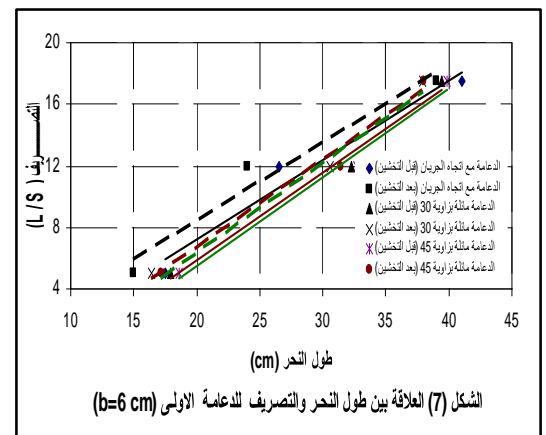
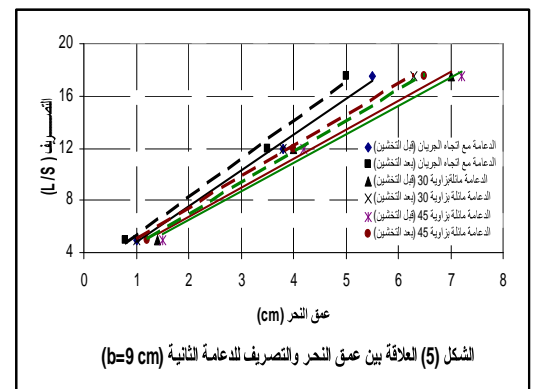
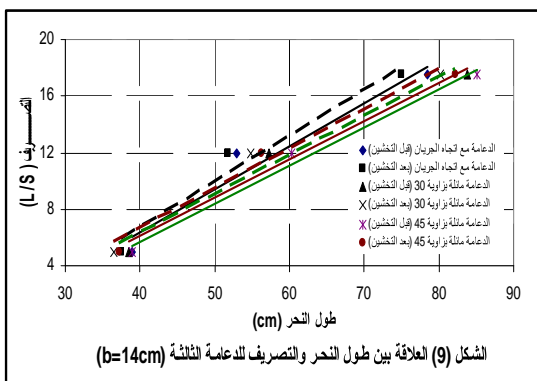
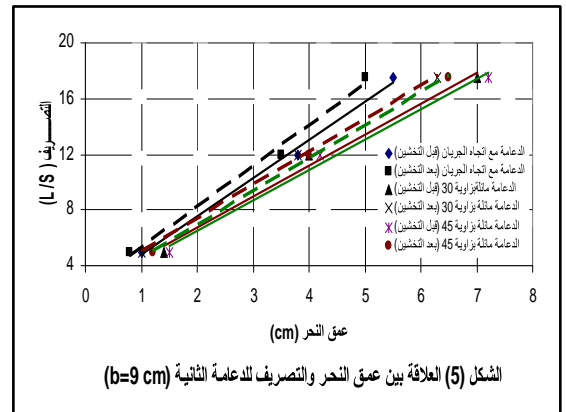
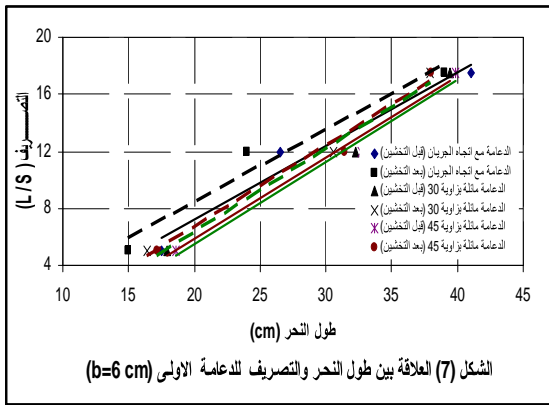


الشكل (2) : مقاطع عرضية لنماذج الدعامات المستخدمة.

الشكل (3) : مخطط يوضح ميل الدعامة بالنسبة لاتجاه الجريان، (a) المحور يوازي اتجاه الجريان، (b) المحور مائل عن اتجاه الجريان.



الشكل (4) العلاقة بين عمق النحر والتصريف للدعامة الاولى (b=6 cm)



## **EFFECT OF BRIDGE PIERS INCLINATION AND ROUGHNESS ON SCOUR PIT DIMENSIONS**

**Dr. Moayad S. Khaleel**

**Inaam A.Juma**

**Nashwan I.Hammo**

**Assistant Professor**

**Lecturer**

**Lecturer**

**Water Resources Eng. Dept.**

**University of Mosul**

### **ABSTRACT**

In this paper a laboratory work was performed to study the effect of bridge piers inclination and surface roughness on scour pit dimensions. Fifty four experiments were conducted using three different sizes and inclinations Pier models fixed in a sandy bed channel. First, the axis of the pier was parallel to the flow, then it was inclined by 30° and finally by 45°. Each model was tested under three different flow discharges for a period not less than two hours and at the end of each experiment the dimensions of the scour pit were measured. The same experiments were repeated after roughening the surface of each pier by fine gravel of 2mm in diameter to increase its roughness.

The results of the experiment showed a clear reduction in scour pit dimensions after increasing pier roughness, the percentage of decreases in scour depth was between 2 % and 61%, while the scour length decreased between 2.5% and 22%, and finally the width of scour decreases was between 3% and 19.7%. The results also showed that the inclination of pier's axis produced an increase in scour pit dimensions. Finally, the empirical relationships of the results showed that it's possible to explain the relation between the flow discharge and each of scour pit dimensions by a simple linear equation, where the determination coefficient were more than 0.94 for all relations.

**KEYWORDS:** Piers, scour, roughness

This document was created with Win2PDF available at <http://www.win2pdf.com>.  
The unregistered version of Win2PDF is for evaluation or non-commercial use only.  
This page will not be added after purchasing Win2PDF.